

УДК 550.36+577.31

М.А. Кулакова

Международный Университет природы общества и человека «Дубна», г. Дубна, Россия

## ПРОЦЕСС РАЗВИТИЯ КЛЕТКИ В ВОЛНОВОМ КОСМИЧЕСКОМ ПРОСТРАНСТВЕ

**Аннотация.** В межпланетном пространстве образуются каналы, в которых происходит уплотнение субстанции, начиная с планетных областей и заканчивая гамма частицами. В уплотняющейся субстанции происходит процесс формирования биологической клетки от невидимой полевой структуры до ее материального проявления. Нуклеотиды ДНК представляют собой цветовой шарик, в котором потоки направлены навстречу друг другу в разных волновых пространствах.

**Ключевые слова:** Межпланетное пространство, гармоника, встречные потоки, конус вращения, стоячая волна, каналы, универсальная временная величина.

### Введение

Человечество существует на планете Земля, которая находится в составе Солнечной системы — космической среды, включающей в себя центральную звезду — Солнце — и все естественные космические объекты, обращающиеся вокруг Солнца.

Известные из астрономии временные показатели вращения планет Солнечной системы вокруг собственной оси и при обращении планет вокруг Солнца дают полное право рассчитать Универсальную временную величину каждой планеты Солнечной системы и, естественно, все остальные физико – математические показатели [1].

Универсальная временная величина, как мера времени (частота, измеряемая в герцах), рассчитывается по определению: 1 Герц – частота периодического процесса, при которой за время 1 сек происходит один цикл процесса (измеряемый в секундах).

Рассчитаны частоты планет Солнечной системы и остальные физико – математические показатели, существующие в современной науке, такие, как:

*Длина информационно волны*

$$L_m = C \text{ м/с} / \nu \text{ Гц}, \quad (1)$$

где:  $C$  - константа скорости света ( $C = 2,99792458 \cdot 10^8 \text{ м/с}$ ),  $\nu$  - частота волны Гц.

*Энергия волны*  $E \text{ Дж} = h \cdot \nu$ ,

где:  $h$  - постоянная Планка,  $\nu$  – частота, Гц.

*Энергия волны*  $E \text{ эВ} = E \text{ Дж} / 1,6021765 \cdot 10^{-19}$ ,

где:  $1,6021765 \cdot 10^{-19}$  - коэффициент пересчета.

$$\text{Масса волны } m \text{ кг} = E \text{ Дж} / C^2 \text{ м/с}, \quad (2)$$

где:  $C$  - скорость света ( $C = 2,99792458 \cdot 10^8 \text{ м/с}$ ).

*Масса волны*

$$m \text{ (а.е.м.)} = \text{масса кг} / 1,66 \cdot 10^{-27}, \quad (3)$$

где:  $1,66 \cdot 10^{-27}$  - переводной коэффициент.

*Мощность волны*

$$W \text{ Вт} = m \text{ кг} - C^2 \text{ м/с} \nu \cdot \text{Гц}, \quad (4)$$

где:  $m$  - масса кг;  $C$  - скорость света ( $C = 2,99792458 \cdot 10^8 \text{ м/с}$ )  $\nu$  - частота Гц.

Эти расчеты были систематизированы по звуковой гармонике: до, ре, ми, фа, соль, ля, си и по закону октав. В результате получена матрица значений физических волновых характеристик, начиная от планет Солнечной системы до гамма частиц, т.е. в пределах значимых, физически осязаемых величин. Составлен Справочник [1], в котором представлены все указанные расчеты. Если проанализировать одну таблицу Справочника – «Длина волны в метрах», то убедимся в утверждении Николы Кузанского: [2] «Движение во Вселенной универсально, вся она буквально пронизана переходами из одного состояния в другое». В столбце таблицы 1 «Физическое проявление вибраций» (приложение 1) наглядно показано явление плавного перехода из одного физического состояния в другое - специально выделено цветами.

*Примечание:* Выделенные числовые значения на поле таблицы 1 зеленым цветом, начиная с 44 октавы, это расчетные значения длин волн, соответствующие параметрам справочных данных. *Пример 1.* Планковская длина  $=1,616E^{-35}$  м. В таблице показан диапазон этой величины:  $1,73E^{-35}$  м,  $1,56E^{-35}$  м.

Дальнейшее исследование гармоник Солнечной системы, по правилу золотого сечения и квинте, показало на существование двух встречных потоков, прослеживающихся во всех расчетных диапазонах длин волн (таблица 2 приложение 2).

Если представить, что таблица отображает числовые значения, составляющие конус, то очевидно, что в Золотом сечении конус вращается в направлении справа налево (против часовой стрелки); в Квинте - слева направо (по часовой стрелке), то есть два конуса вращаются навстречу друг другу. Стоячая волна образуется в координате - 26 ДО, где происходит встреча волны «золотого сечения» и квинты, обозначенные одинаковыми длинами волн, равные  $7,61E+13$  м.

*Примечание:* вращающиеся планеты создают полевую космическую среду, которая формируется по законам интерференции.

Объемное графическое построение наиболее наглядно показывает эти взаимосвязи (рисунок 1).

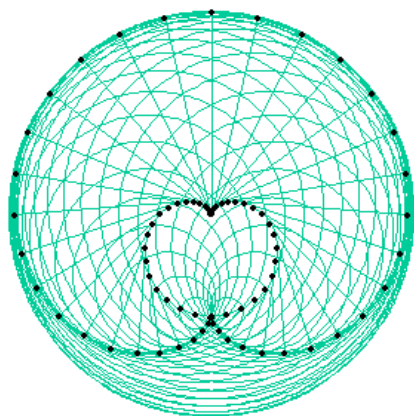


Рисунок 1. - Кардиоида, на которой видны встречные потоки [3].

В точках пересечения в результате наложения двух бегущих навстречу друг другу волн, имеющих одинаковые частоту и амплитуду, образуются стоячие волны.

Если мы возьмем соотношения в области октав, соответствующих химическим элементам, то увидим картину, подобную планетарной (таблица 3 приложение 3).

На уровне химических элементов наблюдаются встречные потоки, создающие стоячие волны [9]. Например, золотое сечение и квинта создают стоячую волну в диапазоне координаты 38 PE. Цифры в этой точке имеют одинаковые величины.

Показано, что *космическое пространство Солнечной системы формируется по октаве и встречными потоками по закону золотого сечения и квинты.*

Фигуры Лиссажу [4] показывают на образование в межпланетном пространстве каналов, в которых происходит уплотнение субстанции, начинаясь с планетарных областей и заканчиваясь гамма частицами.. Эти каналы представляют собой замкнутую спираль определенной формы. В данном теоретическом эксперименте наблюдаются спирали с явно выраженными одинаковыми формами. Две из них мы представляем Вашему вниманию [5]. Фигуры Лиссажу, определяющие принципиально одинаковые процессы, выглядят как показано на рисунке 2.

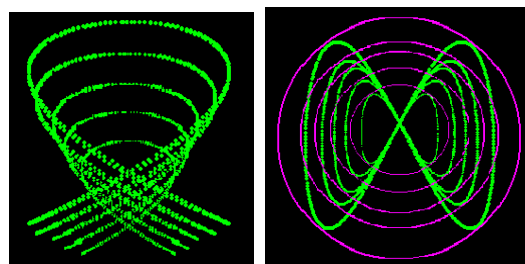


Рисунок 2. - Фигуры Лиссажу спирального космического поля: квинта (слева), октава (справа).

Исследование взаимодействия планет между собой показало, что при вибрации планет соотношения длин волн в каждом длинноволновом диапазоне составляет следующие коэффициенты:

- $2,78E+17$  м (Сатурн вокруг Солнца) /
- $1,7E+17$  м (Луна вокруг Солнца) составляют 1,64 (Золотое сечение).
- $9,61E+15$  м (Земля вокруг Солнца) /
- $5,85E+15$  м (Венера вокруг оси и вокруг Солнца) составляют 1,64 (Золотое сечение).

Эта четверка планет: Сатурн, Луна, Земля, Венера (рисунок 3) являются создателями живых систем в Солнечном пространстве, которые, как известно, формируются согласно правилу золотого сечения [6, 7, 8].

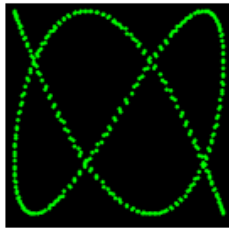


Рисунок 3. - Фигура Лиссажу спирального поля Земля – Венера.

Результаты расчета интерференции волн других планет (таблица 4, приложение 4):

- Луна  $1,70E+17$  м /  $1,14E+17$  Юпитер = 1,49 (квинта).

- Нептун с Ураном образуют квинту:  $1,70E+13$  м /  $1,14E+13$  м = 1,49 (квинта).

- Земля с вибрациями космического пространства так же организует соотношение золотого сечения  $2,53E+13$  м /  $1,54E+13$  м = 1,64 [10].

Соотношение планетарных вибраций формируют в человеческом организме определенные процессы, вибрации которых эквивалентны планетарным (таблица 5, приложение 5).

Наблюдаемое изменение длины волны в области планетарных вибраций при обращении планет вокруг Солнца и вокруг оси показывает, что оно происходит по определенному порядку: снижается длина волны спирально при интерференции волн в определенных точках. Статистический анализ по всей матрице таблицы выявил закономерное уменьшение длины волны, а так же то обстоятельство, что величина соотношения взаимодействующих волн, например Космос – Юпитер, равна или

близка к «золотому числу», а интерференция волн Земли с Юпитером равна квинте.

Полученные соотношения наблюдаются по всей матричной таблице, но формирование клетки от невидимой полевой структуры до ее материального проявления происходит только по золотому сечению [10].

Отметим, что согласно данным эмбриологии [11], во второй фазе оплодотворения - контактном взаимодействии - сперматозоиды вращают яйцеклетку. Многочисленные спермии приближаются к яйцеклетке и вступают в контакт с ее оболочкой. Яйцеклетка начинает совершать вращательные движения вокруг своей оси со скоростью 4 вращения в минуту. Эти движения обусловлены влиянием биения жгутиков сперматозоидов и продолжаются около 12 ч. Здесь укажем, что скорость вращения 4 оборота в минуту соответствует  $6,6E-02$  Гц, а также ноте До в -12 октаве и вибрациям магнитного поля Земли. Далее по закону Золотого сечения вибрации яйцеклетки входят в динамическую волновую матрицу Солнечной системы (таблица 6, приложение 6).

Длины волн и частоты в Гц нематериальной, невидимой клетки выделены голубым цветом.

Из биологии [12] известно, что среди биоритмов мозга во время сна обнаруживается ритм с периодом 15-20 секунд, способствующий оптимизации приспособительной деятельности организма, повышению секреции гормонов анаболического действия, клеточному обновлению и увеличению скорости митозов в разных тканях, синтезу белков и РНК, в т.ч. в мозге, ядрах гипоталамуса.

Ритм с периодом 15 секунд равнозначен частоте  $6,66E-02$  Гц (Герцами называются законченные временные процессы в одну секунду).  $1/15 = 0,066$  Гц ( $6,6E-02$ ). Это соответствует координатам ДО в -12 октаве. Таким образом, в организме человека улавливаются вибрации, совпадающие с космическими, точнее, начальными потоками магнитного

поля Земли, подключающего клетку к вибрациям Солнечной Вселенной.

По параметрам волновых физических величин определили нахождение клетки в матричной таблице 1 [10]

Развиваясь в магнитном поле Земли по «золотому сечению», клетка принимает полевые вибрации Дельта-ритмов мозга, которые связаны с полевыми ритмами других тканей и органов человека.

Как видно из таблицы 7 (приложение 7), соотношение вибраций клетки совпадает с планетарными вибрациями в октавах -23,-24,-25 рисунок 1, рассмотренный крест повторяется, но соотношение длин волн  $1,08E+08м/6,67E+07м$  и  $4,12E+07/2,55E+07м$  равно 1,62, золоту сечению, и так на протяжении всего процесса формирования клетки.

После того, как клетка вступила в резонанс с полевыми ритмами мозга, развитие продолжается в слышимым для уха диапазоне звуковых волн, соответствующих сверхдлинным радиоволнам (таблица 8 приложение 8).

В звуковом поле, соответствующем в 1 и 2 октаве человеческому голосу, «полевую» клетку можно активировать звуками ФА 1 октавы, и Ре и ЛЯ 2 октавы. Из них создать аккорд, в котором произойдет интерференция волн и «родится» нота ФА в третьей октаве.

Многочисленные биологические данные о биоритмах подтверждают, что фиксируются полевые, а не вещественные составляющие клеточных систем. Вот примеры:

1). Сонные веретена с частотой 12-16 Гц [12].

По справочнику [1] эта величина соответствует диапазону ритмов мозга (-5 октава, нота СОЛЬ, числовое значение вибраций  $1,25 E+01$  Гц, длина волны  $2,41E+07м$  или  $2,41E+04$  км). По величине длины волны абсолютно понятно, что измеряется частота полевой составляющей биосистемы.

2). Околочасовые ритмы [12]. Один час равен 3 600сек Расчет в герцах:  $1/3600 = 2,7 E-04$ Гц. По справочнику эта величина соответствует диапазону синтеза белков (-20 октава, нота РЕ, числовое значение

вибраций  $2,87 E-04$  Гц, длина волны  $1,06E+12м$  или  $1,06E+09$  км). По величине длины волны ясно, что измеряется частота полевой составляющей биосистем.

3). Ритм гипоталамуса 1,5 часа [12].  $1,5 ч = 5 400сек$ . Расчет в герцах:  $1/5400 = 1,8E-04$  Гц.

По Справочнику эта величина соответствует диапазону синтеза белков (-21 октава, нота СОЛЬ), числовое значение вибраций  $1,9E-04$  Гц, длина волны  $1,58E+12м$  или  $1,58E+09$  км. Величина длины волны наглядно показывает, что измеряется частота полевой составляющей биосистемы.

4). 24-х суточный ритм [12]. В 24 х сутках 2 073 600 сек. Расчет в герцах:  $1/2 073 600 = 4,82E-9$  Гц. По справочнику эта величина соответствует диапазону обращения планет вокруг Солнца (-36 октава, нота МИ, числовое значение вибраций  $4,75E-09$ , длина волны  $6,31E+16м$  или  $6,31E+13км$ ). Эти характеристики эквивалентны волновым характеристикам планет Юпитера, Сатурна и Луны при обращении вокруг Солнца.

Следуем дальше за развитием клетки по пути спирали «золотого сечения».

Наблюдаем процесс развития клетки в радиоволновом диапазоне, СВЧ, инфракрасном излучении (таблица 9 приложение 9).

Не видим, не слышим, а радиоволны с длиной волны  $3,23E+00м$ ,  $1,99E+00м$ ,  $1,23E+00м$ ,  $7,61E-01м$  пронизывают клетку, поддерживают ее радиоволновую форму. Крест сдвигается влево, входит в диапазон обращения Земли вокруг Солнца (таблица 10 приложение 10).

В диапазоне от 31 до 34 октавы клетка структурируется длинами волн СВЧ, а в 35 октаве переходит в область инфракрасного излучения, которое продолжается до 41 октавы. В 41 октаве переходит в область химических элементов, материализуется (таблица 11 приложение 11).

Какие же химические элементы входят в клетку?

Координата 40, МИ, длина волны  $1,73E+03$  нм. Близкие значения длин волн

имеет водород с длиной волны 1875,10 нм. Ранее нами было показано, что этот водород входит в состав Рибозы ДНК [15]. Близкие значения длины волны имеет также фосфор с длиной волны 1648,3 нм.

Координата 41, ДО, длина волны 1,07E+03 нм. Близкие значения длин волн имеет азот с длиной волны 1247,96 нм.

Координата 41, СОЛЬ длина волны 6,61E+02 нм. Близкие значения длин волн имеет водород с длиной волны 656,27 нм, кислород с длиной волны 687 нм, калий с длиной волны 691,11нм.

Координата 42, МИ, длина волны 4,085E+02 нм. Близкие значения длин волн имеют водород 434,05 нм, углерод 426,73 нм, кальций 422,67 нм, железо 430,79 нм.

Таким образом, материальную составляющую клетки составляют следующие химические элементы: водород с длиной волны 1875,10 нм, фосфор с длиной волны 1648,3 нм, азот с длиной волны 1247,96 нм, водород с длиной волны 656,27 нм, кислород с длиной волны 687 нм, калий с длиной волны 691,11нм, водород 434,05 нм, углерод 426,73 нм, кальций 422,67 нм, железо 430,79 нм.

### Функции ДНК

Известно, что пары нуклеотидов ДНК отвечают принципу комплементарности, цитозин комплементарен гуанину, аденин - тимину и урацилу (последний отличается от тимина только отсутствием группы СН<sub>3</sub>). На рис.1, показаны варианты соединения аденина с тиминном и гуанина с цитозином.

Принцип комплементарности позволяет объяснить механизм "молекулярного узнавания" [13]. С позиций волновой теории, ДНК представляет собой осциллирующий пакет, в котором элементы находятся в различных взаимоотношениях, зависящих от длины волны каждого элемента.

Комплементарность нуклеотидов рассмотрим с позиций волновых процессов (рисунок 4). Поскольку каждый химический элемент имеет несколько длин волн [1], поэтому выстроим схему состава нуклеотидов по закону снижения энергии при увеличении длины волны химического элемента [14]. Нуклеотид рассматривается без фосфора, так как показанная схема не

точна с волновых позиций, ибо фосфор по своей химической длине волны принадлежит только цитозину.

В таблице 12 (приложение 12) исследования показали, что в аденине азот с длиной волны 399 нм и водород с длиной волны 265,67 нм, образуют квинту, организующую вращение по часовой стрелке.

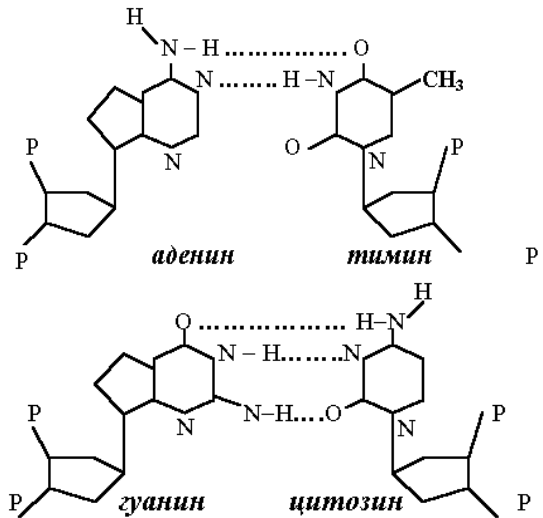


Рисунок 4. - Схема комплементарности нуклеиновых кислот.

В тимине кислород с длиной волны 756 нм и азот с длиной волны 461 нм образуют золотое сечение, вращающееся против часовой стрелки. Таким образом аденин и тимин вращаются навстречу друг другу, а входящие в них азот с длиной волны 399 нм и водород с длиной волны 434 нм по определению образуют стоячую волну, образуя устойчивое соединение азота с водородом. Стоячая волна характеризуется отношением вибраций, близких к 1. Например, 434 нм: 399 нм = 1,08.

В гуанине кислород с длиной волны 756 нм и углерод с длиной волны 461 нм создают золотое сечение, вращающееся против часовой стрелки.

В цитозине азот с длиной волны 1240 нм и углерод с длиной волны 835 нм создают квинту, вращающуюся по часовой стрелке. Таким образом, опять видим встречные световые потоки. А входящие в них углерод с длиной волны 835 нм и кислород с длиной волны 756 нм создают стоячую волну, с устойчивым соединением азота с водородом.

Очевидно, что нуклеотиды представляют собой цветовой шарик (рисунок 5), в котором потоки устремляются навстречу друг другу в разных волновых пространствах.

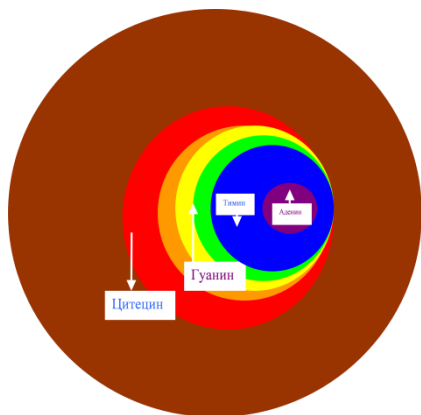


Рисунок 5. - Цветовой шарик ДНК.

Азот с водородом организуют связующую цепь согласно закону снижения энергии – увеличение длины волны.

Графики Лиссажу показывают, что летящие от Солнца ультрафиолетовое излучение с длиной волны 399 нм, представляет собой азот, а с длинами волн 375,015 – 397 нм представляет водород. Встречаясь в биологическом пространстве (либо в любом другом) они не создают химических соединений, а приносят энергию в систему на уровне 2,97 эВ (рисунок 6),

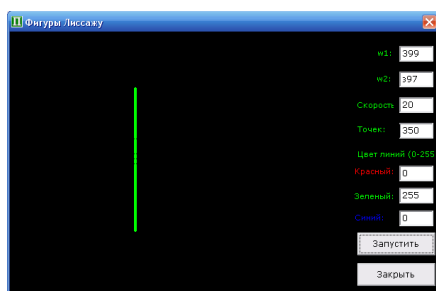
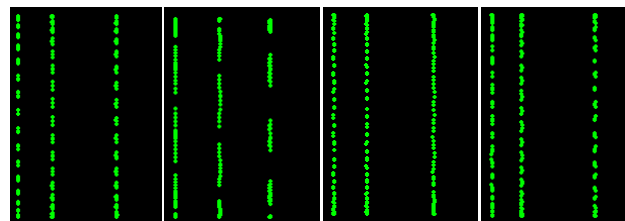


Рисунок 6. - След энергии химических элементов.

Поставщиками энергии от Солнца (рисунок 7) являются следующие химические пары элементов, пролетающих сквозь биологическую систему: азот в аденине – углерод в тимине, углерод в гуанине – азот в тимине, водород и азот в

тимине, кислород в цитозине – азот в тимине.

Анализ составляющих значений частотных характеристик химических элементов подтвердил, что объединение их в составе ДНК происходит по указанным выше космическим законам (рисунок 8): октаве (азот  $7,18E+14$  Гц – кислород  $3,96E+14$  Гц); квинте (азот  $5,8E+14$  Гц – водород  $4,38E+14$  Гц); квинте (азот  $2,42E+14$  Гц – водород  $1,62E+14$  Гц) и золотому сечению (азот  $5,34E+14$  Гц – углерод  $3,25E+14$  Гц).



Азот (399 нм) аденин Углерод (426 нм) Тимин	Углерод (461 нм) азот (426 нм) тимин	Водород (434нм) Тимин азот (426 нм) Тимин	Кислоро д (756 нм) цитозин азот (426 нм) Тимин
--	--	--	--

Рисунок 7. - Поставщики энергии в нуклеотидах.

Октава азот $7,18E+14$ Гц – кислород $3,96E+14$ Гц	Квинта азот $2,42E+14$ Гц – водород $1,62E+14$ Гц	Золотое сечение азот $5,34E+14$ Гц – углерод $3,25E+14$ Гц

Рисунок 8. - Объединение химических элементов в составе молекулы ДНК происходит по схеме Космических гармоник: октаве, квинте, золотому сечению.

Таким образом, ДНК представляет собой фрактал макромира, отражающий его основные свойства.

Азот 567 нм с водородом 656 нм в гуанине создают соединение, аналогичное пульсации дельта ритмов мозга, соответствующее вращению Земли вокруг собственной оси с учетом водной среды (рисунок 9.3 приложение 13).

Эти же элементы - азот, с длиной волны 1240 нм и водород с длиной волны 1870 нм создают соединение аналогичное пульсации тета ритма мозга с альфа ритмом мозга (рисунок 9.4, приложение 13). Углерод с длиной волны 463 нм с водородом длиной волны 656 нм образует соединение, адекватное биоритмам синтеза белка и электронной активности нейронов, мыслительной активности человека а так же вибрациям альфа ритму мозга с сердцем, гамма ритму мозга (рисунок 9 - 1, 2, 5 а, приложение 13). Углерод с углеродом длиной волны 463 нм создают фигуру Лиссажу, соответствующую альфа ритму мозга – сердце (дубль) (рисунок 9 - бб приложение 13).

Кроме того углерод тимиана 463,2 нм и водород гуанина 656 нм так же формируют фигуру Лиссажу, адекватную гамма ритму мозга (рисунок 9.7 приложение 13), который непосредственно связан с голосом. Голос у каждого человека уникален, также как и остальных живых существ, следовательно, определение генетической наследственности можно производить по голосам родителей (или рода).

*Вибрации указанных соединений вызывают к жизни ритмы мозга и поддерживают их жизнедеятельность в процессе существования объекта.*

Ритмы мозга, соответственно, передают резонансные сигналы в определенные органы тела таблица 13 приложение 14.

Рассмотрим преобразование звуковых волн в системах тела, получаемых бета ритмом мозга 22,5 Гц. таблица 14 приложение 15.

Резонансная частота 22,5 Гц точно соответствует дельта ритму мозга, произведенной в ноте ФА -7 октавы. Видимо она является координирующей работу ритмов мозга

Рассмотрим преобразование звуковых волн гамма ритмом мозга от звуковых резонансных сигналов в диапазоне частот 45 – 90 Гц.

Звук, проходя в системах тела, такие среды, как кости, ткани, кровь, вода, нервы преобразуется в короткие и ультракороткие радиоволны (таблица 15 приложение 16).

Так, генерирующая звуковая частота от 45 Гц до 90 Гц создает поле информационное поле, соответствующее коротким радиоволнам в костях, тканях тела, в крови, в воде, а в нервах создает поле, соответствующее ультракоротким радиоволнам, что соответствует резонансным частотам живой клетки.

Следовательно, человек является приемником информации, протекающей по этим волнам, вероятнее всего, этот процесс мы и называем ИНТУИЦИЕЙ.

Подведем итоги: ДНК в целом создает химический каркас для РИТМОВ МОЗГА, которые передают жизненные сигналы в органы и системы тела.

Каждый нуклеотид функционален:

Аденин с тимином являются поставщиками энергии, принятой от Солнца, гуанин трансформирует эту энергию в цветовую и организует подачу цветовой энергии в структуру клеток по квинте, а цитозин трансформирует ее далее и организует формирование живых систем по золотому сечению.

Для более точного выражения высказанной мысли представим ее в табличной форме таблица 16 приложение 17.

Сравним данные таблицы 18 (приложение 19) с рисунком 5.

Исследование формирования клетки с момента ее оплодотворения подтвердили эту концепцию.

Так как нуклеотиды рассматриваются как волновые осциллирующие пакеты, все химические элементы рассматриваются так же, как волны, имеющие длины волн, совпадающих с цветовой волновой теорией. В приведенной таблице показаны химические элементы, соответствующие таблице Менделеева, в мерах длин волн в нанометрах. [1]



Из таблицы видно, что каждый химический элемент имеет несколько длин волн, которые переходят из одного цвета в другой по причине потери энергии. Диапазон энергий составляет от 0,67 эВ до 2,97 эВ. Волновые характеристики химических элементов, входящие в нуклеотиды ДНК показаны в таблице 9 приложение 21 [15].

Представленная таблица является Справочной.

Полученные данные о гармоничном устройстве Солнечной системы и имеющиеся выводы, что ДНК является фракталом Вселенной позволили уточнить функциональное назначение нуклеотидов ДНК.

Полученные новые данные являются перспективным для последующих научных и практических разработок, связанных с генетикой и биологией в целом.

#### **Список литературы:**

1 Кулакова М.А., Полинцев Д.А. - Волновые характеристики природных систем Расчетные Таблицы. Справочник под редакцией академика РАМН, РАЕН профессора Ю.А. Рахманина, Москва, 2009 – с. 151.

2 Николай Кузанский - Сочинения в двух томах, том 1, Академия наук СССР, Институт философии, издательство «Мысль» Москва, 1979 – с. 482.

3 Кардиоида <http://ru.wikipedia.org/wiki/Кардиоида>

4 Лиссажу [http://ru.wikipedia.org/wiki/Фигуры\\_Лиссажу](http://ru.wikipedia.org/wiki/Фигуры_Лиссажу)

5 Боровков Е.И., Кулакова М.А., Полинцев Д.А. - Тайна Клавдия Птолемея. Специальный выпуск НИИ Астробиологических проблем и космической безопасности. Приложение к журналу Межакадемический Информационный Бюллетень «Международная академия», Вестник №1 Санкт – Петербург, 2010 - с. 64 – 70.

6 Золотое сечение - мера красоты <http://www.tech-to-life.com/publ/1-1-0-18>.

7 Золотое сечение <http://n-t.ru/tp/iz/zs.htm>

8 Кулакова М.А., Орлова В.А. Закономерности гармоничного развития клеток и тканей человека в вибрирующем пространстве Солнечной системы. Специальный выпуск НИИ Астробиологических проблем и космической безопасности. Приложение к журналу Межакадемический Информационный Бюллетень «Международная академия» Вестник №8, Санкт – Петербург, 2008 - с. 92 – 100.

9 Стоячая волна [http://ru.wikipedia.org/wiki/%D1%F2%EE%FF%F7%E0%FF\\_%E2%EE%EB%ED%E0](http://ru.wikipedia.org/wiki/%D1%F2%EE%FF%F7%E0%FF_%E2%EE%EB%ED%E0)

10 Кулакова М.А., Орлова В.А. Закономерности гармоничного развития клеток и тканей человека в вибрирующем пространстве Солнечной системы. Специальный выпуск НИИ Астробиологических проблем и космической безопасности. Приложение к журналу Межакадемический Информационный Бюллетень «Международная академия» Вестник №8, Санкт – Петербург, 2008 - с. 92 – 100.

11 Эмбриология [./www.rusbiolog.ru/2008/10/12/jembriologija.html](http://www.rusbiolog.ru/2008/10/12/jembriologija.html)

12 Чернилевский В.Е. Гипотеза резонанса. Доклады МОЧП Том 41 Секция геронтологии. Участие биоритмов организма в процессах развития старения.

13 Комплементарность ДНК [ru.wikipedia.org/wiki/Комплементарность\\_\(биология\)](http://ru.wikipedia.org/wiki/Комплементарность_(биология)).

14 Барабой В.А. Солнечный луч Издательство «Наука» Москва 1978, с. 240.

15 Кулакова М.А., Орлова В.А. Волновое единство микро – и макроструктур Космоса в графических отображениях. Журнал «Международная академия МАИСУ». Вестник №1 (43) январь 2010, стр. 55 - 63.



Приложение 1

Таблица 1. - Длина волны в метрах из раздела Справочника «Физические величины»

нота октава	до	ре	ми	фа	соль	ля	си	Физическое проявление вибраций	
-40-30	3,08E+17	2,78E+17	2,52E+17	2,29E+17	2,07E+17	1,87E+17	1,70E+17	Планеты при обращении вокруг Солнца	Планеты при вращении вокруг собственной оси
-33	9,61E+15	8,70E+15	7,88E+15	7,14E+15	6,46E+15	5,85E+15	5,30E+15		
-24	1,88E+13	1,70E+13	1,54E+13	1,39E+13	1,26E+13	1,14E+13	1,04E+13		
-22	4,69E+12	4,25E+12	3,85E+12	3,49E+12	3,16E+12	2,86E+12	2,59E+12	Биоритм синтеза белков, электронная активность нейронов, физиологическая и мыслительная активность	
-21	2,35E+12	2,12E+12	1,92E+12	1,74E+12	1,58E+12	1,43E+12	1,29E+12		
-20	1,17E+12	1,06E+12	9,62E+11	8,72E+11	7,89E+11	7,14E+11	6,47E+11		
-19	5,87E+11	5,31E+11	4,81E+11	4,36E+11	3,95E+11	3,57E+11	3,24E+11		
-12	4,58E+09	4,15E+09	3,76E+09	3,40E+09	3,08E+09	2,79E+09	2,53E+09	Ритмы мозга	
-9	5,73E+08	5,19E+08	4,70E+08	4,26E+08	3,85E+08	3,49E+08	3,16E+08		
-8	2,86E+08	2,59E+08	2,35E+08	2,13E+08	1,93E+08	1,74E+08	1,58E+08		
-7	1,43E+08	1,30E+08	1,18E+08	1,06E+08	9,63E+07	8,72E+07	7,90E+07		
-6	7,16E+07	6,48E+07	5,87E+07	5,32E+07	4,82E+07	4,36E+07	3,95E+07		
-5	3,58E+07	3,24E+07	2,94E+07	2,66E+07	2,41E+07	2,18E+07	1,98E+07		
-4	1,79E+07	1,62E+07	1,47E+07	1,33E+07	1,20E+07	1,09E+07	9,87E+06		
-3	8,95E+06	8,10E+06	7,34E+06	6,65E+06	6,02E+06	5,45E+06	4,94E+06		
-2	4,48E+06	4,05E+06	3,67E+06	3,33E+06	3,01E+06	2,73E+06	2,47E+06		
-1	2,24E+06	2,03E+06	1,84E+06	1,66E+06	1,51E+06	1,36E+06	1,23E+06		
1	1,12E+06	1,01E+06	9,18E+05	8,31E+05	7,53E+05	6,81E+05	6,17E+05		
2 - 6	5,59E+05	5,06E+05	4,59E+05	4,16E+05	3,76E+05	3,41E+05	3,09E+05	Человеческий голос	
7 - 10	2,19E+03	1,98E+03	1,79E+03	1,62E+03	1,47E+03	1,33E+03	1,21E+03	Сверх длинные ЭМ волны	
11 - 13	1,09E+03	9,89E+02	8,96E+02	8,12E+02	7,35E+02	6,65E+02	6,03E+02	Длинные радиоволны (РВ)	
14 - 23	1,37E+02	1,24E+02	1,12E+02	1,02E+02	9,19E+01	8,32E+01	7,53E+01	Средние РВ	
24 - 27	1,33E-01	1,21E-01	1,09E-01	9,91E-02	8,97E-02	8,12E-02	7,36E-02	Короткие РВ	
28 - 30	8,33E-03	7,55E-03	6,84E-03	6,19E-03	5,61E-03	5,08E-03	4,60E-03	Телевидение (СВЧ)	
31	1,04E-03	9,43E-04	8,55E-04	7,74E-04	7,01E-04	6,35E-04	5,75E-04	Радиолокация (СВЧ) и инфракрасное излучение, выделенное синим цветом	
32	5,21E-04	4,72E-04	4,27E-04	3,87E-04	3,50E-04	3,17E-04	2,87E-04		
33	2,61E-04	2,36E-04	2,14E-04	1,94E-04	1,75E-04	1,59E-04	1,44E-04		
34	1,30E-04	1,18E-04	1,07E-04	9,68E-05	8,76E-05	7,93E-05	7,18E-05		
41	1,02E-06	9,21E-07	8,35E-07	7,56E-07	6,84E-07	6,20E-07	5,61E-07	Видимый свет	Химические элементы
42	5,09E-07	4,61E-07	4,17E-07	3,78E-07	3,42E-07	3,10E-07	2,81E-07		
43	2,54E-07	2,30E-07	2,09E-07	1,89E-07	1,71E-07	1,55E-07	1,40E-07	Ультра фиолет	
44	1,27E-07	1,15E-07	1,04E-07	9,45E-08	8,56E-08	7,75E-08	7,02E-08	Постоян. Ридберга R=3,28E+15Гц, соответствующая длина волны 9,45E-08 м	
45	6,36E-08	5,76E-08	5,22E-08	4,72E-08	4,28E-08	3,87E-08	3,51E-08	Харти энергия 4,35E-18 Дж, соответствующая длина волны 4,72E-08 м	
46	3,18E-08	2,88E-08	2,61E-08	2,36E-08	2,14E-08	1,94E-08	1,75E-08	Ультрафиолетовое излучение	
47	1,59E-08	1,44E-08	1,30E-08	1,18E-08	1,07E-08	9,68E-09	8,77E-09	Бора радиус 5,28E-9 м	
48	7,95E-09	7,20E-09	6,52E-09	5,91E-09	5,35E-09	4,84E-09	4,39E-09		
49	3,97E-09	3,60E-09	3,26E-09	2,95E-09	2,67E-09	2,42E-09	2,19E-09	Рентгеновское излучение	
56	3,11E-11	2,81E-11	2,55E-11	2,31E-11	2,09E-11	1,89E-11	1,71E-11		

57	1,55E-11	1,41E-11	1,27E-11	1,15E-11	1,04E-11	9,46E-12	8,56E-12	Гамма излучение
59	3,88E-12	3,51E-12	3,18E-12	2,88E-12	2,61E-12	2,36E-12	2,14E-12	Масса электрона = 9,1E-31 кг, соответствующая длина волны 2,36E-12
66	3,03E-14	2,75E-14	2,49E-14	2,25E-14	2,04E-14	1,85E-14	1,67E-14	Гамма излучение
70	1,90E-15	1,72E-15	1,56E-15	1,41E-15	1,28E-15	1,15E-15	1,05E-15	Масса протона, нейрона ≈ 1,674E-27 кг, соответствующая длина волны 1,28E-15 м
71 - 74	9,48E-16	8,58E-16	7,77E-16	7,04E-16	6,37E-16	5,77E-16	5,23E-16	Изотопы химических элементов
129	3,29E-33	2,98E-33	2,70E-33	2,44E-33	2,21E-33	2,00E-33	1,81E-33	Фридмон ~ 1,00E-09 кг, соответствующая длина волны 2,00E-33 м
130	1,64E-33	1,49E-33	1,35E-33	1,22E-33	1,11E-33	1,00E-33	9,07E-34	Космические лучи
131	8,22E-34	7,44E-34	6,74E-34	6,11E-34	5,53E-34	5,01E-34	4,53E-34	
132	4,11E-34	3,72E-34	3,37E-34	3,05E-34	2,76E-34	2,50E-34	2,27E-34	
133	2,06E-34	1,86E-34	1,69E-34	1,53E-34	1,38E-34	1,25E-34	1,13E-34	
134	1,03E-34	9,30E-35	8,43E-35	7,63E-35	6,91E-35	6,26E-35	5,67E-35	Планковская масса = 2,17E-08 кг, соответствующая ей длина волны 1,03E-34 м
135	5,14E-35	4,65E-35	4,21E-35	3,82E-35	3,46E-35	3,13E-35	2,83E-35	
136	2,57E-35	2,33E-35	2,11E-35	1,91E-35	1,73E-35	1,56E-35	1,42E-35	Планковская длина = 1,616E-35 м
137	1,28E-35	1,16E-35	1,05E-35	9,54E-36	8,64E-36	7,82E-36	7,08E-36	Частица предельной массы ~ 1E-08 кг, соответствующая ей длина волны 1,05E+35 м
138	6,42E-36	5,81E-36	5,27E-36	4,77E-36	4,32E-36	3,91E-36	3,54E-36	Космические лучи
139	1,28E-37	1,16E-37	1,05E-37	9,54E-36	8,64E-36	7,80E-36	7,08E-36	

## Приложение 2

Таблица 2. - Золотое сечение, Квинта, в диапазоне октав планет Солнечной системы

Золотое сечение, длина волны в метрах							
Октава/нота	до	ре	ми	фа	соль	ля	си
-30	1,20E+15	1,09E+15	9,85E+14	8,92E+14	8,08E+14 8,519E+14	7,32E+14	6,63E+14
-29	6,01E+14	5,44E+14	4,93E+14 5,265E+14	4,46E+14	4,04E+14	3,66E+14	3,31E+14 3,254E+14
-28	3,00E+14 3,25E+14	2,72E+14	2,46E+14	2,23E+14	2,02E+14 2,011E+14	1,83E+14	1,66E+14
-27	1,50E+14	1,36E+14	1,243E+14 1,242E+14	1,12E+14	1,01E+14	9,15E+13	8,28E+13
-26	7,51E+13 7,679E+13	6,80E+13	6,16E+13	5,58E+13	5,05E+13	4,57E+13 4,746E+13	4,14E+13
Квинта, длина волны в метрах							
-29	6,006E+14	5,437E+14 5,78E+14	4,927E+14	4,462E+14	4,040E+14 3,85E+14	3,658E+14	3,313E+14
-28	3,003E+14	2,719E+14	2,463E+14 2,57E+14	2,231E+14	2,020E+14	1,829E+14	1,657E+14 1,71E+14
-27	1,501E+14	1,359E+14	1,232E+14	1,116E+14 1,14E+14	1,010E+14	9,145E+13	8,283E+13
-26	7,507E+13 7,61E+13	6,797E+13	6,158E+13	5,578E+13	5,050E+13 5,07E+13	4,572E+13	4,141E+13
-25	3,753E+13	3,398E+13 3,38E+13	3,079E+13	2,789E+13	2,525E+13	2,286E+13 2,25E+13	2,071E+13
-24	1,877E+13	1,699E+13	1,540E+13 1,50E+13	1,394E+13	1,262E+13	1,143E+13	1,035E+13 1,0E+13

**Приложение 3**

Таблица 3. - Золотое сечение, квинта в диапазоне октав, соответствующих химическим элементам

Золотое сечение, длина волны в метрах							
Нота/октава	до	ре	ми	фа	соль	ля	си
38	8,14E-06	7,37E-06 7,333E-06	6,68E-06	6,05E-06	5,48E-06	4,96E-06	4,49E-06 4,532E-06
39	4,07E-06	3,69E-06	3,34E-06	3,02E-06	2,74E-06 2,801E-06	2,48E-06	2,25E-06
40	2,04E-06	1,84E-06	1,67E-06	1,51E-06	1,37E-06	1,24E-06	1,12E-06
41	1,02E-06 1,07E-06	9,21E-07	8,35E-07	7,56E-07	6,84E-07 6,61E-07	6,20E-07	5,61E-07
42	5,09E-07	4,61E-07	4,17E-07 4,085E-07		3,42E-07	3,10E-07	2,81E-07
Квинта, длина волны в метрах							
38	8,139E-06	7,369E-06 7,30E-06	6,677E-06	6,047E-06	5,475E-06	4,957E-06 4,87E-06	4,490E-06
39	4,070E-06	3,685E-06	3,338E-06 3,25E-06	3,024E-06	2,738E-06	2,479E-06	2,245E-06 2,16E-06
40	2,035E-06	1,842E-06	1,669E-06	1,512E-06 1,44E-06	1,369E-06	1,239E-06	1,123E-06
41	1,017E-06	9,211E-07 9,62E-07	8,346E-07	7,559E-07	6,844E-07	6,197E-07 6,41E-07	5,613E-07
42	5,087E-07	4,606E-07	4,173E-07 4,27E-07	3,780E-07	3,422E-07	3,098E-07	2,806E-07 2,85E-07

**Приложение 4**

Таблица 4. - Пример соотношения вибраций Земли и космоса, Земли и Юпитера

-25		Земля – Космос по золотому сечению Соотношение $2,53E+13m/1,54E+13m=1,64$ (против часовой стрелки)	2,53E+13м Земля вокруг своей оси 1,19E-05Гц				
-24		1,54E+13м Космос	1,39E+13	1,26E+13	1,14E+13	1,04E+13 м Юпитер вокруг своей оси 2,90E-05Гц	<b>квинта</b>
-23			Процессы, происходящие в человеке.		Земля – Юпитер ПО КВИНТЕ Соотношение $1,04E+13м/6,9E+12м=1,5$ (по часовой стрелке)		

**Приложение 5**

Таблица 5. - Планетарные вибрации формируют в человеке определенные процессы

-25		Земля – Космос по золотому сечению Соотношение $2,53E+13m/1,54E+13m=1,64$ (против часовой стрелки)	2,53E+13м 1,19E-05Гц Ритмы супрахиазматического ядра гипоталамуса Дельта ритм			
-24		1,54E+13м Космос	1,39E+13	1,26E+13	1,14E+13	1,04E+13 м Юпитер вокруг своей оси 2,90E-05Гц
-23			6,9E+12м 4,3E-05Гц Циклы сокращения желудка, циклы мочеотделения и др		Земля – Юпитер ПО КВИНТЕ Соотношение $1,04E+13м/6,9E+12м=1,5$ (по часовой стрелке)	

**Приложение 6**

Таблица 6. – Фрагмент 1. Включение клетки в магнитное поле Земли.

-13	9,16E+09	8,30E+09 8,205E+09	7,52E+09	6,81E+09	6,16E+09	5,58E+09	5,06E+09 м 5,071E+09 Гц	Магнитное поле Земли
-12	4,58E+09м 6,54E-02 Гц Вибрации яйцеклетки после ее раскручивания сперматозоидами				3,134E+09м 9,73E-02Гц	2,79E+09	2,53E+09	
-11	2,29E+09	2,07E+09	1,937E+09м 1,60E-01Гц	1,70E+09	1,54E+09	1,40E+09	1,26E+09	

**Приложение 7**

Таблица 7. - Фрагмент 2. Клетка в полевых вибрациях ритмов мозга.

-7	1,43E+08	1,30E+08	1,18E+08	1,08E+08м 2,82E+0Гц Живая клетка	9,63E+07	8,72E+07	7,90E+07	Дельта ритм мозга
-6	7,16E+07	6,67E+07м 4,63E+00Гц Живая клетка	5,87E+07	5,32E+07	4,82E+07	4,12E+07м 6,88+00Гц Живая клетка	3,95E+07	Тета ритм мозга
-5	3,58E+07	3,24E+07	2,94E+07	2,55E+07м 1,13E+01Гц Живая клетка	2,41E+07	2,18E+07	1,98E+07	Альфа ритм мозга

**Приложение 8**

Таблица 8. - Фрагмент 3. Процесс развития клетки в звуковом поле.

1	1,12E+06	1,01E+06	9,18E+05	фа 8,77E+05м 3,61E+02Гц Живая клетка	7,53E+05	6,81E+05	6,17E+05	Диапазон звуков, слышимый ухом
2	5,59E+05 5,42E+05	ре 5,06E+05м 5,92+02Гц Живая клетка	4,59E+05	4,16E+05	3,76E+05	3,35E+05м Ля 8,80E+02Гц Живая клетка	3,09E+05	
3	2,80E+05	2,53E+05	2,29E+05	фа 2,07E+05м 1,44E+03Гц Живая клетка	1,88E+05	1,70E+05	1,54E+05	

**Приложение 9**

Таблица 9. - Фрагмент 4. Процесс развития клетки в волнах СВЧ.

19	4,27E+00	3,86E+00	3,50E+00	3,23E+00м Живая клетка	2,87E+00	2,60E+00	2,35E+00	Диапазон резонансных частот структур живой клетки Радиолокация (СВЧ)
20	2,13E+00	1,99E+00м Живая клетка	1,75E+00	1,59E+00	1,44E+00	1,23E+00м Живая клетка	1,18E+	
21	1,07E+00	9,66E-01	8,75E-01	7,61E-01м Живая клетка	7,18E-01	6,50E-01	5,89E-01	

**Приложение 10**

Таблица 10. - Фрагмент 5. Процесс развития клетки в СВЧ и инфракрасном излучении

31	1,04E-03	9,43E-04	8,55E-0 9,02E-044 Живая клетка	7,74E-04	7,01E-04	6,35E-04	5,75E-04	Радиолокация (СВЧ)
32	5,21E-04 5,58E-04 Живая клетка	4,72E-04	4,27E-04	3,87E-04	3,50E-04 3,45E-04 Живая клетка	3,17E-04	2,87E-04	
33	2,61E-04	2,36E-04	2,14E-04 2,13E-044 Живая клетка	1,94E-04	1,75E-04	1,59E-04	1,44E-04	
34	1,30E-04 1,32E-04 Живая клетка	1,18E-04	1,07E-04	9,68E-05	8,76E-05 8,134E-05 Живая клетка	7,93E-05	7,18E-05	
35	6,51E-05	5,90E-05	5,34E-05 5,027E-05 живая клетка	4,84E-05	4,38E-05	3,97E-05	3,59E-05	

**Приложение 11**

Таблица 11. - Фрагмент 6. Процесс развития клетки в инфракрасном излучении и в видимом цвете, соответствующему химическим элементам.

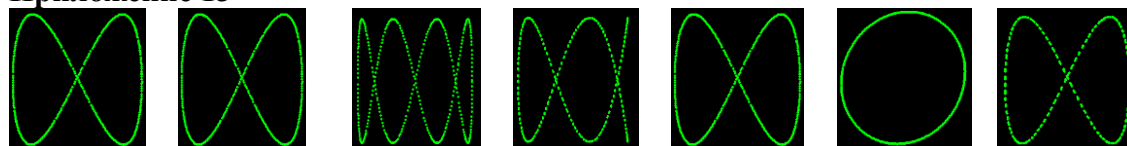
40	2,04E-06	1,84E-06м	1,73E+03нм живая клетка	1,51E-06м	1,37E-06	1,24E-06	1,12E-06	Инфракрасное излучение
41	1,07E+03нм живая клетка	9,21E-07м	8,35E-07м	7,56E-07м	6,61E+02нм живая клетка	6,20E-07м	5,61E-07	Химические элементы Видимый цвет.
42	5,09E-07м		4,085E+02нм живая клетка		3,42E-07м	3,10E-07	2,81E-07	

### Приложение 12

Таблица 12 - Химические элементы, составляющие нуклеотид, выстроенные по закону снижения энергии при увеличении длины волны химического элемента

Нуклеотид	Химический элемент	Длина волны, нм	Энергия волны, эВ	Цветовое излучение
Аденин	Углерод	247,86	4,87	Ультрафиолетовое излучение
	Углерод	265,67	4,45	Ультрафиолетовое излучение
	Азот	399	3,28	Фиолетовый
Тимин	Химический элемент	Длина волны, нм	Энергия волны, эВ	Цветовое излучение
	Азот	426,7	2,97	Синий
	Углерод	434,047	2,69	Синий
	Водород	434	2,69	Синий
	Водород	461	2,54	Синий
Гуанин	Химический элемент	Длина волны, нм	Энергия волны, эВ	Цветовое излучение
	Азот	509	2,44	Зеленый
	Азот	567,96	2,21	Желтый
	Водород	656	1,81	Оранжевый
Цитозин	Химический элемент	Длина волны, нм	Энергия волны, эВ	Цветовое излучение
	Кислород	756	1,64	Красный
	Углерод	835	1,49	Инфракрасный
	Кислород	921	1,35	Инфракрасный
	Азот	1240	1,00	Инфракрасный
	Фосфор	1670	0,743	Инфракрасный
	Водород	1840	0,673	Инфракрасный

### Приложение 13



1	2	3	4	5	6	7
Биоритмы синтеза белка и электронная активность нейронов	Электронная активность нейронов и мыслительная активность человека	Дельта ритм мозга	Тета ритм мозга, Альфа ритм мозга	Альфа ритм мозга, сердце (А)	Альфа ритм мозга, сердце (Б)	Гамма ритм мозга

Рисунок 9. - Фигуры Лиссажу ритмов мозга человека.

### Приложение 14

Таблица 13. - Ритмы мозга связаны с органами и системами организма человека

Ритмы мозга	Органы и системы, связанные с ритмами мозга
Дельта ритм мозга	Биотоки мозга, вестибулярный аппарат, сердечные сокращения, система органов дыхания, руки. Частота 0,7 Гц; 2,8 Гц
Тета ритм мозга	Биотоки мозга, вестибулярный аппарат, позвоночник, почки. Частота 5,6 Гц
Альфа ритм мозга	Биотоки мозга, вестибулярный аппарат, сердце. Частота 11,3 Гц
Бета ритм мозга	Резонансная частота черепной коробки при воздействии внешнего звука на пороге слышимого звукового диапазона. Частота 22,5 Гц
Гамма ритм мозга	Звук в диапазоне частот 45-90 Гц.

**Приложение 15**

Таблица 14. - Преобразование звукового сигнала бета ритма мозга в системах тела

Генерирующая звуковая частота, Гц	Мозг	Кости	Ткани	Кровь	Вода	Нервы
	Длина волны, м					
2,25E+01	Бета ритм мозга	1,30E+03	6,92E+02	6,49E+02	6,41E+02	1,30E+01

**Приложение 16**

Таблица 15. - Преобразование звукового сигнала гамма ритма мозга в системах тела

Генерирующая звуковая частота, Гц	Мозг	Кости	Ткани	Кровь	Вода	Нервы
	Длина волны, м					
4,51E+01	Гамма ритм мозга	6,65E+01	3,55E+01	3,33E+01	3,29E+01	6,65E-01
4,98E+01		6,02E+01	3,21E+01	3,01E+01	2,98E+01	6,02E-01
5,50E+01		5,45E+01	2,91E+01	2,73E+01	2,70E+01	5,45E-01
6,07E+01		4,94E+01	2,63E+01	2,47E+01	2,44E+01	4,94E-01
6,70E+01		4,48E+01	2,39E+01	2,24E+01	2,21E+01	4,48E-01
7,40E+01		4,05E+01	2,16E+01	2,03E+01	2,00E+01	4,05E-01
8,17E+01		3,67E+01	1,96E+01	1,84E+01	1,82E+01	3,67E-01
9,02E+01		3,33E+01	1,77E+01	1,66E+01	1,62E+01	3,33E-01

**Приложение 17**

Таблица 16. - Функциональное назначение нуклеотидов в ритмах мозга

Ритмы мозга	Нуклеотид Химические элементы, нм	Органы и системы, связанные с ритмами мозга
Дельта ритм мозга	Гуанин Азот 567,96 Водород 656,27	Биотоки мозга, вестибулярный аппарат, сердечные сокращения, система органов дыхания, руки. Частота 0,7 Гц; 2,8 Гц
Тета ритм мозга	Цитозин Азот 1240 Водород 1840	Биотоки мозга, вестибулярный аппарат, позвоночник, почки. Частота 5,6 Гц
Альфа ритм мозга	Цитозин Азот 1240 Водород 1840	Биотоки мозга, вестибулярный аппарат, сердце. Частота 11,3 Гц
Гамма ритм мозга	Углерод тимина 463,2 Водород гуанина 656,27	Звук в диапазоне частот 45-90 Гц
Бета ритм мозга	Резонансная частота 22,5 Гц точно соответствует дельта ритму мозга произведенной в ноте ФА -7 октавы. Видимо она является координирующей работу ритмов мозга	Резонансная частота черепной коробки при воздействии внешнего звука на пороге слышимого звукового диапазона. Частота 22,5 Гц

**Приложение 18**

Таблица 17. - Химические элементы нуклеотидов, участвующих в формировании клетки

Нуклеотид	Химический элемент	Длина волны, нм	Цвет волны	Функциональное назначение
Тимин	Азот	426,7	синий	Формируют клетку
	Углерод	434,047	синий	
Гуанин	Водород	656,27	оранжевый	
Цитозин	Азот	1240	инфракрасный	
	Фосфор	1670	инфракрасный	
	Водород	1840	инфракрасный	



Приложение 19

Таблица 18. - Волновые характеристики химических элементов, входящие в нуклеотиды ДНК

Октавы	Частота (Гц)	Излучение	Длина волны (нм)	Химические элементы	Энергия волны, [эВ]	Масса, кг	Мощность, Вт
40	1,62E+14	Инфракрасное излучение	1,87E+03	Водород	6,73E-01	1,20E-36	1,75E-05
	1,79E+14		1,64E+03	Фосфор	7,43E-01	1,32E-36	2,14E-05
			9,79E+02				
			9,56E+02				
			9,52E+02				
	2,42E+14		1,24E+03	Азот	1,00E+00	1,78E-36	3,88E-05
	3,25E+14	8,44E+02	Кислород Углерод	1,35E+00	2,40E-36	7,02E-05	
	3,59E+14	8,35E+02	Кислород	1,49E+00	2,65E-36	8,55E-05	
	3,96E+14	Цвет	7,77E+02	Кислород	1,64E+00	2,92E-36	1,04E-04
	3,96E+14		7,23E+02	Кислород	1,64E+00	2,92E-36	1,04E-04
4,38E+14		6,56E+02	Водород	1,81E+00	3,23E-36	1,27E-04	
5,34E+14		5,67E+02	Азот	2,21E+00	3,94E-36	1,89E-04	
42	5,89E+14		4,63E+02	Углерод, Азот	2,44E+00	4,34E-36	2,30E-04
	6,51E+14		4,61E+02	Водород, Углерод	2,69E+00	4,80E-36	2,81E-04
	7,18E+14		4,34E+02	Водород	2,97E+00	5,30E-36	3,42E-04
	7,18E+14		4,26E+02	Углерод	2,97E+00	5,30E-36	3,42E-04
	7,18E+14		3,99E+02	Азот	2,97E+00	5,30E-36	3,42E-04
	7,93E+14		3,97E+02 3,89E+02 3,84E+02 3,80E+02 3,77E+02 3,75E+02	Водород	2,97E+00	5,30E-36	3,42E-04
43	1,07E+15	Ультра-фиолетовое Излучение	2,83E+02	Углерод	2,97E+00	5,30E-36	3,42E-04
	1,18E+15						
	1,18E+15						
	1,44E+15		2,14E+02	Фосфор	5,94E+00	1,06E-35	1,37E-03

**М.А. Кулакова**

Международный Университет природы общества и человека «Дубна»,  
г. Дубна, Россия, del@tmpk.net

### **ПРОЦЕСС РАЗВИТИЯ КЛЕТКИ В ВОЛНОВОМ КОСМИЧЕСКОМ ПРОСТРАНСТВЕ**

**Аннотация.** В межпланетном пространстве образуются каналы, в которых происходит уплотнение субстанции, начиная с планетных областей и заканчиваясь гамма частицами. В уплотняющейся субстанции происходит процесс формирования биологической клетки от невидимой полевой структуры до ее материального проявления. Нуклеотиды ДНК представляют собой цветовой шарик, в котором потоки направлены навстречу друг другу в разных волновых пространствах.

**Ключевые слова:** Межпланетное пространство, гармоника, встречные потоки, конус вращения, стоячая волна, каналы, универсальная временная величина.

**M. A. Kulakova**

International University of the nature of society and person "Dubna",  
Dubna, Russia, del@tmpk.net

### **PROCESS OF CELLS IN OUTER SPACE WAVE**

**Abstract:** In interplanetary space are formed channels in which there is a seal substance, since the planetary regions and ending gamma particles. In the condensed substance there is a process of formation of a biological cell from invisible field structure before its material implication. Nucleotides of DNA represent a color globule in which streams are referred towards each other in different wave spaces.

**Keywords:** Interplanetary space, harmonica, counter flows, rotation cone, standing wave, channels, universal temporary size.

**М.А. Кулакова**

«Дубна» қоғам және адам табиғаты Халықаралық Университеті,  
Дубна қ., Ресей, del@tmpk.net

### **ТОЛҚЫНДЫҚ ҒАРЫШТЫҚ КЕҢІСТІКТЕ ЖАСУШАЛАРДЫҢ ДАМУ ПРОЦЕССИ**

**Аннотация.** Планетааралық кеңістікте субстанцияларды тығыздауы болған планеталық облыстардан бастап және гамма бөлшектерден аяқталатын каналдар құралады. Тығыздатылған субстанцияларда оның заттық әсер етуге дейін көрінбейтін жазықтық құрылымынан биологиялық жасушалар пайда болу процесі болып жатыр. Днк нуклеотидтер өзімен әртүрлі толқындық кеңістіктеріне бір-біріне қарама-қарсы бағыттаған гүл түйіршіктер ағындарын ұсынып жатыр.

**Кілт сөздер:** Планета аралық кеңістік, гармоника, қарама-қарсы ағындар, конус айналулары. тік тұратын толқын, каналдар, әмбебап уақыт шамасы